

КРАТКИЕ СООБЩЕНИЯ

УДК 681.2.08

М. А. ЗЕМЕЛЬМАН, Ю. З. ФАЛЬКОВИЧ
 (МОСКВА)

**АНАЛИЗ СИСТЕМЫ САМОНАСТРОЙКИ
 ИЗМЕРИТЕЛЬНЫХ УСТРОЙСТВ**

В последнее время получают все большее распространение измерительные устройства (ИУ), в которых применяются разнообразные системы автоматической коррекции погрешностей ИУ, в частности системы самонастройки. Одним из эффективных методов самонастройки является метод образцовых сигналов [1]. Этот метод заключается в том, что периодически, по заданной программе, ИУ выключается из режима измерения и включается в режим коррекции (самонастройки); при этом на вход ИУ подается известный (образцовый) сигнал; значение приведенной к выходу погрешности ИУ, соответствующей данному образцовому сигналу, управляет некоторым параметром схемы ИУ; последний изменяется до тех пор, пока погрешность ИУ не сведется в принципе к нулю; на этом самонастройка заканчивается и ИУ переключается снова в режим измерения. Метод образцовых сигналов применим для коррекции лишь медленно меняющихся составляющих погрешности ИУ.

Анализ процесса коррекции будем вести при следующих предположениях. Корректируемая величина x не меняется в процессе коррекции и распределена с плотностью вероятности $\varphi(x)$. На корректируемую величину наложен центрированный аддитивный и не зависящий от нее шум y с интегральным законом распределения $F(y)$. Процесс коррекции осуществляется пошагово. На первом шаге на вход ИУ подается образцовый сигнал; разность z между сигналом на выходе ИУ, который совпадает с сигналом на его входе, и образцовым сигналом поступает на корректирующее устройство, которое имеет релейную характеристику с зоной нечувствительности

$$\psi(z) = q \frac{\text{sign}(z - \Delta) + \text{sign}(z + \Delta)}{2}.$$

Если на первом шаге $\psi(z_1) = 0$ ($z_1 = x + y_1$), то процесс коррекции заканчивается. На втором шаге при $\psi(z_1) \neq 0$ на вход ИУ подается образцовый сигнал за вычетом $\psi(z_1)$; разность между выходом ИУ и образцовым сигналом вновь поступает на вход корректирующего устройства. Если $\psi(z_2) = 0$ ($z_2 = x + y_2 - \psi(z_1)$), то процесс коррекции заканчивается. При $\psi(z_2) \neq 0$ осуществляется третий шаг коррекции и т. д. При этом предполагается, что значения шума y на различных шагах коррекции независимы.

Назовем «проходом» последовательность шагов коррекции, которым соответствует один и тот же знак сигнала на выходе корректирующего устройства. нас будут интересовать статистические характеристики погрешности коррекции ε и числа проходов n , в течение которого заканчивается процесс коррекции. Отметим, что в качестве второго параметра, характеризующего работу системы коррекции, могут быть использованы также характеристики числа шагов, в течение которого заканчивается коррекция.

Используя условия независимости значений аддитивного шума y на различных шагах коррекции, можно выписать выражение для ненормированной плотности вероятности ошибки коррекции ε для реализаций уравнивания, заканчивающихся на первом проходе:

$$\begin{aligned} \psi_1(\varepsilon) = [F(\Delta - \varepsilon) - F(-\Delta - \varepsilon)] \left\{ \sum_{k=1}^{\infty} \varphi(\varepsilon - kq) \prod_{l=1}^k F(-\Delta - \varepsilon + lq) + \right. \\ \left. + \varphi(\varepsilon) + \sum_{k=1}^{\infty} \varphi(\varepsilon + kq) \prod_{l=1}^k (1 - F(\Delta - \varepsilon - lq)) \right\}. \end{aligned} \quad (1)$$

Вероятность окончания коррекции на первом проходе определяется очевидным соотношением

$$P_1 = \int_{-\infty}^{\infty} \psi_1(\varepsilon) d\varepsilon. \quad (2)$$

Из условия независимости значений шума на различных шагах коррекции вытекает также рекуррентное соотношение для ненормированной плотности вероятности ошибки ε , для реализаций, заканчивающихся на n -м проходе ($n \geq 2$):

$$\begin{aligned} \psi_n(\varepsilon) = [F(\Delta - \varepsilon) - F(-\Delta - \varepsilon)] \left\{ \sum_{k=1}^{\infty} \varphi_{1,n}(\varepsilon - kq) \prod_{l=1}^k F(-\Delta - \varepsilon + lq) + \right. \\ \left. + \sum_{k=1}^{\infty} \varphi_{2,n}(\varepsilon + kq) \prod_{l=1}^k (1 - F(\Delta - \varepsilon - lq)) \right\}, \quad (3) \end{aligned}$$

где

$$\begin{aligned} \varphi_{1,n}(\varepsilon) = \sum_{m=1}^{\infty} \varphi_{2,(n-1)}(\varepsilon + mq) \prod_{p=1}^m F(-\Delta - \varepsilon + pq); \\ \varphi_{2,n}(\varepsilon) = \sum_{m=1}^{\infty} \varphi_{1,(n-1)}(\varepsilon - mq) \prod_{p=1}^m (1 - F(\Delta - \varepsilon - pq)); \quad \varphi_{1,1}(\varepsilon) = \varphi_{2,1}(\varepsilon) = \varphi(\varepsilon). \end{aligned}$$

Вероятность окончания процесса коррекции на n -м проходе по аналогии с (2)

$$P_n = \int_{-\infty}^{\infty} \psi_n(\varepsilon) d\varepsilon, \quad (4)$$

а плотность вероятности ошибки коррекции

$$\psi(\varepsilon) = \sum_{n=1}^{\infty} \psi_n(\varepsilon). \quad (5)$$

Формулы (1)—(5) дают решение поставленной задачи.

В [2] отмечалось, что при рассмотренном выше алгоритме коррекции ошибка коррекции может получиться чрезмерно большой. Для ее уменьшения алгоритм можно усложнить, заканчивая, например, коррекцию при отсутствии сигнала на выходе корректирующего устройства в течение не одного, а ω тактов коррекции подряд. В этом случае принципиально несложно выписать выражения для плотностей вероятности ошибки коррекции. Так, для реализаций коррекции, заканчивающихся на первом проходе, плотность вероятности ошибки коррекции имеет следующий вид:

$$\begin{aligned} \psi_{\omega}(\varepsilon) = [F(\Delta - \varepsilon) - F(-\Delta - \varepsilon)]^{\omega} \left\{ \sum_{k=1}^{\infty} \varphi(\varepsilon - kq) \times \right. \\ \left. \times \prod_{l=1}^k F(-\Delta - \varepsilon + lq) + \sum_{k=1}^{\infty} \varphi(\varepsilon + kq) \prod_{l=1}^k (1 - F(\Delta - \varepsilon - lq)) \right\}, \quad (6) \end{aligned}$$

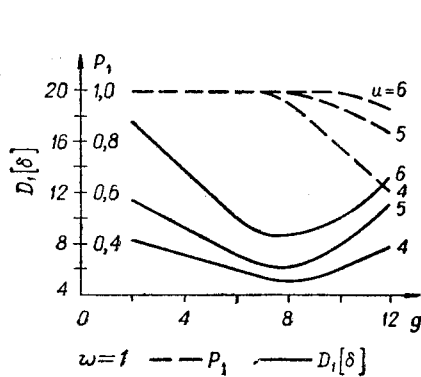


Рис. 1.

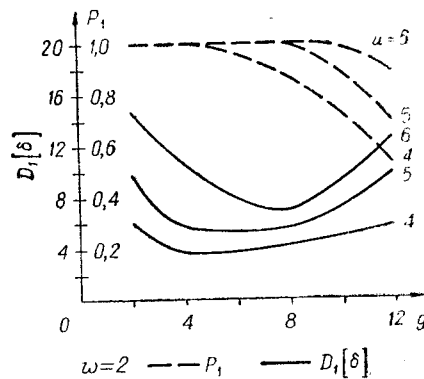


Рис. 2.

а вероятность окончания коррекции на первом проходе

$$P_w = \int_{-\infty}^{\infty} \psi_w(\varepsilon) d\varepsilon. \quad (7)$$

Полученные выше соотношения могут служить для определения параметров системы коррекции при заданных условиях. Рассчитываемыми параметрами системы являются: ширина 2Δ зоны нечувствительности корректирующего устройства; шаг q коррекции; количество w попаданий погрешности ИУ в зону $\pm\Delta$, при котором следует закончить режим коррекции.

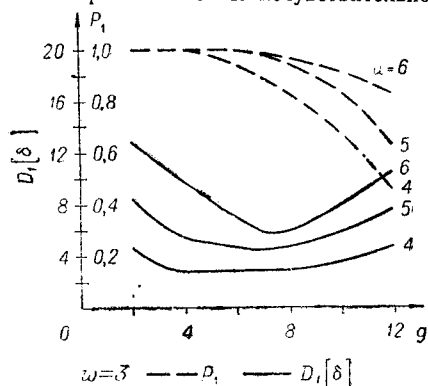


Рис. 3.

оптимальное значение относительного шага коррекции, при котором дисперсия ошибки коррекции минимальна.

На рис. 1—3 приведены графики зависимости вероятности P_1 окончания коррекции на первом проходе, а также дисперсии $D_1(\delta)$ относительной ошибки коррекции $\delta = \varepsilon/\sigma$ при условии завершения коррекции на первом проходе от относительного шага коррекции $g = \frac{q}{\sigma}$,

относительной ширины зоны нечувствительности $u = \frac{\Delta}{\sigma}$ и числа w . Здесь σ — среднеквадратическое отклонение шума y . При этом предполагается, что $\varphi(x)$ — равномерная плотность в пределах от -10σ до $+10\sigma$, а закон распределения шума — нормальный. Из кривых рис. 1—3 видно, что имеется некоторое

ЛИТЕРАТУРА

1. М. А. Земельман. Общие принципы повышения точности измерительных устройств.— Измерительная техника, 1968, № 5.
2. М. А. Земельман. Определение оптимальных параметров системы автоматической коррекции погрешностей развертывающего аналого-цифрового преобразователя.— Измерительная техника, 1966, № 6.

Поступило в редакцию
5 ноября 1969 г.,
окончательный вариант —
11 сентября 1970 г.

МДК 681.322.05

В. Г. КАТЮШКИН
(МОСКВА)

СРАВНИТЕЛЬНАЯ ОЦЕНКА МНОГОКАНАЛЬНЫХ ПРЕОБРАЗОВАТЕЛЕЙ «АНАЛОГОВОЕ НАПРЯЖЕНИЕ — КОД»

Функциональную схему, отражающую принцип работы большинства типов преобразователей «аналог — код», можно представить в виде рис. 1. Преобразуемое напряжение U_n подается на схему сравнения (СС). Схема управления (СУ) производит перебор состояний регистра, и одновременно с помощью суммирующей матрицы (СМ) осуществляется соответствующее преобразование код — напряжение. Подбор необходимого